

بررسی شکل خط تشدید فانو در جفت‌شدگی فیبر نوری تک‌مد و میکرومشدد WGM با استفاده از توری پراش

حمید نادگران^(۱)، رضا ذوالفقاری قربانی^(۱)، راحله پورمند^(۲)

^(۱) بخش فیزیک دانشگاه شیراز

^(۲) مرکز آموزش عالی دولتی استهبان

چکیده - در این کار نشان داده می‌شود که در ساختار جفت‌شدگی عمودی میکرومشدد WGM و فیبرنوری تک‌مد با استفاده از توری پراش فلزی، شکل خط تشدید فانو به حالت قطبش موج فرودی بستگی دارد. تحت قطبش TE و TM ، شکل خط تشدید فانو به ترتیب $peak-dip$ resonance و $dip-peak$ resonance می‌باشد. همچنین، نشان داده شده است که با افزایش شکاف میان توری پراش و میکرومشدد، ضریب کیفیت افزایش و اختلاف شدت روشن-خاموش در طیف بازتابی به‌طور مداوم کاهش می‌یابد. این روند افزایش ضریب کیفیت تا زمانی که اندازه شکاف به ۳۵۰ نانومتر برسد، ادامه می‌یابد. پس از آن، تشدید فانو به دلیل کاهش قدرت جفت‌شدگی، شکل خط ایده‌آل خود را از دست می‌دهد. تعیین این شکاف هوای بهینه در تصویربرداری میدان نزدیک میکروسکوپ‌های کانفوکال اهمیت فراوانی دارد.

کلیدواژه- تشدید فانو، جفت‌شدگی عمودی، میکرومشدد WGM

Investigation of Fano resonance line shapes in coupling between single-mode optical fiber and WGM microresonator using diffraction grating

H. Nadgaran⁽¹⁾, R. Zolfaghari Ghorbani⁽¹⁾, R. Pourmand⁽²⁾

⁽¹⁾ Physics Dep. Shiraz University, Shiraz 71454, Iran

⁽²⁾ Physics Dep. Estahban Higher Education Center, Estahban, Iran

Abstract- It has been demonstrated that, in vertical coupling structure between WGM microresonator and a single mode optical fiber using the metallic diffraction grating, Fano resonance line-shape depends on incident wave polarization. Under TE and TM polarization, Fano resonance line-shape are peak-dip resonance and dip-peak resonance respectively. Also, it is shown that by increasing the gap size between the diffraction grating and microresonator, the Q-factor increase and the on-off intensity difference of the reflection spectral line decrease continuously. This progressive trend of Q-factor continues until the gap size reaches 350 nm. Beyond that, the Fano resonance loses its ideal line-shape because of decreasing coupling strength. This optimum gap size can be exploited in near field imaging of confocal microscopes.

Keywords: Fano resonance, vertical coupling, Microresonator WGM

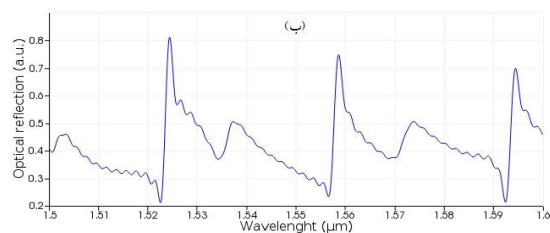
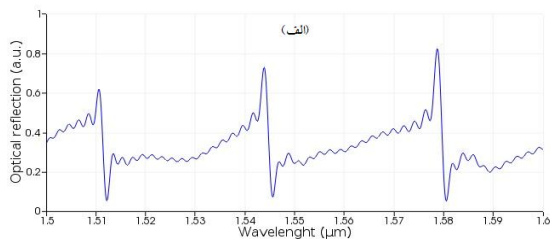
۱- مقدمه

دوره توری برابر با $1/2$ میکرومتر به گونه‌ای که $0/6$ میکرومتر لایه طلا و $0/6$ میکرومتر لایه هوا می‌باشد و ضخامت آن 100 نانومتر است. شکاف هوا بین توری و میکرو دیسک 150 نانومتر انتخاب شده است. در این کار از منبع گوسی در بازه طول موجی بین 1500 تا 1600 نانومتر استفاده گردیده است.

در این ساختار جفت‌شدگی عمودی بین میکرومشدد WGM و فیبر نوری تک‌مد با استفاده از توری پراش فلزی، نتیجه تداخل بین مدهای WGM و نور بازتابی مستقیم از توری، مطالعه شده است.

۲-۱- شکل خط تشدید فانو تحت قطبش TE و TM

مبانی نظری این کار در مرجع [۷] آمده است. در نتایج شبیه‌سازی مشاهده شده است که شکل خط طیفی نامتقارن از تشدید فانو به حالت قطبش موج فرودی بستگی دارد، به طوری که اگر موج فرودی دارای قطبش TE باشد شکل خط تشدید فانو در نمودار طیفی بازتاب از مقدار بیشینه به مقدار کمینه افت می‌کند که به آن peak-dip resonance گفته می‌شود. و حال اگر موج فرودی دارای قطبش TM باشد شکل خط تشدید فانو در نمودار طیفی بازتاب از مقدار کمینه به مقدار بیشینه خود می‌رسد که به آن dip-peak resonance گفته می‌شود. در شکل (۲) بستگی شکل خط تشدید فانو به حالت قطبش موج فرودی قابل مشاهده است.



شکل ۲: نمایش تفاوت شکل خط تشدید فانو در ساختار مورد بررسی که موج در نمودار (الف) تحت قطبش TE و در نمودار (ب) تحت قطبش TM می‌باشد.

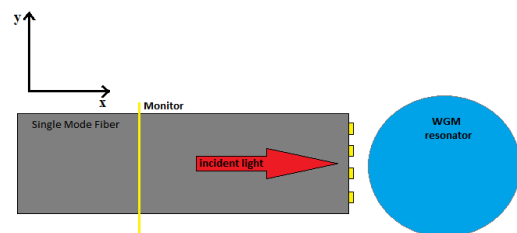
تشدید فانو که نتیجه تداخل دو مد است موجب نوعی شکل خط طیفی نامتقارن می‌شود. نمایه نامتقارن این نوع تشدید نتیجه تداخل‌های سازنده و ویرانگر دو مد با اختلاف فاز مشخص در فاصله فرکانسی کوچک است. پدیده فانو در زمینه‌های مختلف از جمله فیزیک هسته‌ای، فیزیک اتمی، اپتیک غیرخطی، و ... پدیدار می‌شود [۱، ۲].

میکروکاوک‌ها، مشددهای اپتیکی هستند که ابعادشان از مرتبه طول موج، یا کمتر از آن است. میکرو مشدد WGM با تقارن دایروی قادر به تشکیل مجموعه مدهای سطحی WGM با حجم مد بسیار کوچک و ضریب کیفیت بسیار بالا می‌باشد، که به علت داشتن این خصوصیات، از عناصر کلیدی در ساختارهای اپتیکی به شمار رفته و عملکرد آنها را بهبود می‌بخشد و در حسگرها [۳]، فیلترها [۴]، لیزرها [۵] و ... به کار برده می‌شود [۶].

با استفاده از WGM با ضریب کیفیت بسیار بالا که به راحتی با دیگر منابع اپتیکی برهمکنش می‌کند می‌توان تشدید فانو را تولید کرد [۷]. در این کار هدف پیدا کردن فاصله بهینه توری با میکرو دیسک در ساختار مورد مطالعه است که طبق اطلاع نویسندگان تاکنون انجام نشده است.

۲- اصول کار

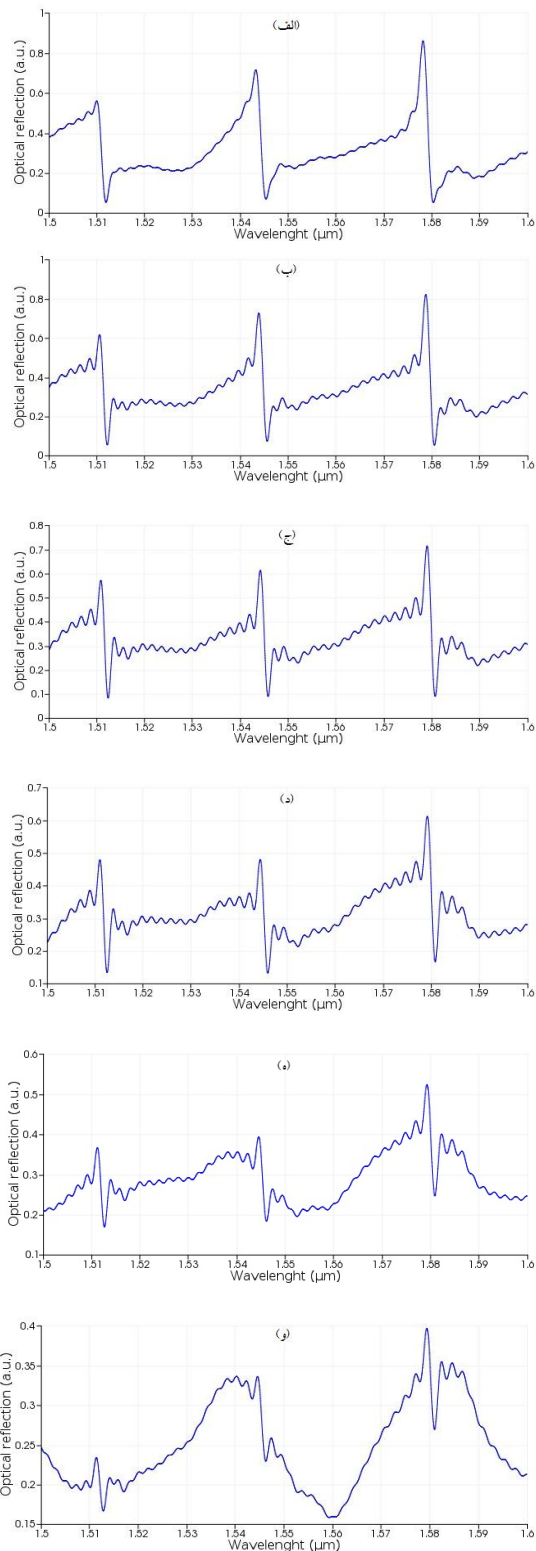
مطابق شکل (۱)، ساختار مورد مطالعه شامل یک توری پراش فلزی از طلا می‌باشد که بر انتهای فیبر نوری تک‌مد قرار داده شده است.



شکل ۱: نمایش دوبعدی جفت‌شدگی عمودی میکرومشدد WGM و فیبر نوری تک‌مد با استفاده از توری پراش طلا

شبیه‌سازی در این کار توسط نرم‌افزار Lumerical به روش FDTD انجام شده است. برای محاسبات سریعتر، شبیه‌سازی در دو بعد انجام گرفته است، بدین معنا که از تقریب میکرو دیسک به جای میکروکره استفاده شد و قطر میکرو دیسک (سیلیکا) 16 میکرومتر انتخاب گردید.

کیفیت و کوچک بودن اختلاف شدت، تشدید فانو شکل خط ایده‌آل خود را از دست می‌دهد.



شکل ۳: نمایش شکل خط تشدید فانو در شکاف هوا (الف) ۵۰ نانومتر (ب) ۱۵۰ نانومتر (ج) ۲۵۰ نانومتر (د) ۳۵۰ نانومتر (ه) ۴۵۰ نانومتر (و) ۵۵۰ نانومتر

تفاوت فاز ۹۰ درجه‌ای بین قطبش‌های TE و TM باعث متفاوت بودن شکل خط طیفی تشدید فانو صرف‌نظر از اندازه مشدد، قدرت و توان جفت‌شدگی، فرکانس ورودی و یا هندسه توری می‌شود.

۲-۲- بررسی ویژگی‌های شکل خط تشدید فانو در اثر تغییر شکاف میان توری طلا و میکرو مشدد WGM

در این قسمت کار، با تغییر شکاف میان توری پراش طلا و میکرو مشدد WGM به بررسی ویژگی‌های شکل خط تشدید فانو در ساختار پرداخته شده است.

با تغییر شکاف از ۵۰ نانومتر تا ۵۵۰ نانومتر، روند تغییرات شکل خط تشدیدهای فانو در شکاف‌های مختلف در شکل (۳) قابل مشاهده است.

در جدول (۱) برای شکل خط تشدید فانو تشکیل شده در طول موج ۱۵۸۰ نانومتر در این بازه طول موجی در شکاف‌های مختلف مقادیر ضریب کیفیت با استفاده از رابطه (۱) و اختلاف شدت (اختلاف بیشینه و کمینه) در طیف بازتابی آورده شده است.

جدول ۱: مقادیر ضریب کیفیت و اختلاف شدت در طیف بازتابی در شکاف‌های مختلف

مقدار شکاف هوا	ضریب کیفیت	اختلاف شدت
۵۰ نانومتر	۹۴۶/۹۴۸	۰/۸۰۷
۱۵۰ نانومتر	۱۱۹۵/۹۴۶	۰/۷۷۹
۲۵۰ نانومتر	۱۲۹۴/۱۹۶	۰/۶۲۴
۳۵۰ نانومتر	۱۳۲۶/۹۴۹	۰/۴۴۵
۴۵۰ نانومتر	۱۲۱۴/۵۴۲	۰/۲۷۷
۵۵۰ نانومتر	۱۰۱۲/۳۷۱	۰/۱۲۷

با توجه به مقادیر جدول مشاهده می‌شود که با افزایش شکاف هوا ضریب کیفیت افزایش و اختلاف شدت کاهش می‌یابد تا جایی که برای شکاف هوای بزرگتر از ۳۵۰ نانومتر به دلیل ضعیف شدن جفت‌شدگی و کاهش ضریب

- [6] Zhou, Y., et al., *Controlled excitation of higher radial order whispering gallery modes with metallic diffraction grating*. Optics express, 2015. **23**(4): p. 4991-4996.
- [7] Zhou, Y., et al., *Fano resonances in metallic grating coupled whispering gallery mode resonator*. Applied Physics Letters, 2013. **103**:(۱۰) p. 151108.
- [8] Zhou, Y., et al. *Metallic grating coupled whispering gallery mode resonator*. in *Frontiers in Optics*. 2013. Optical Society of America.

$$Q = \frac{\lambda_0}{\Delta\lambda} \quad (1)$$

که λ_0 طول موج تشدید و $\Delta\lambda$ پهنای کل در نیم‌بیشینه می‌باشد.

۳- مقایسه

نتایج این کار با نتایج تجربی مرجع [۸] مقایسه شده است که حاکی از تطابق خوبی میان این دو مورد است.

۴- نتیجه‌گیری

در این کار با ساختار جفت‌شدگی عمودی میان میکرومشدد WGM و فیبر نوری تک‌مد با استفاده از توری پراش طلا مشاهده شد که تغییر در شکل خط تشدید فانو از قطبش موج فرودی سرچشمه می‌گیرد.

تاثیر اندازه شکاف هوای بین توری پراش و میکرومشدد WGM و بهینه کردن مقدار آن اهمیت کلیدی در تصویربرداری میکروسکوپ‌های کانفوکال دارد. این مقدار برای این ساختار ۳۵۰ نانومتر بدست آمده است.

عدد ۳۵۰ نانومتر، اندازه شکاف میان توری پراش و میکرودیسک برای کار کردن با میدان‌های نزدیک عدد بزرگی است ولی از آنجا که می‌توان با میکروسکوپ‌های کانفوکال، میدان‌های تشکیل‌شده در این فاصله را به میدان‌های دور تبدیل کرد، فاصله مزبور می‌تواند مبنایی برای انتقال تصویر به دور باشد.

مراجع

- [1] Bianconi, A. *Ugo Fano and shape resonances*. in *AIP Conference Proceedings*. 2003. AIP.
- [2] Miroshnichenko, A.E., S. Flach, and Y.S. Kivshar, *Fano resonances in nanoscale structures*. Reviews of Modern Physics, 2010. **82**(3): p. 2257.
- [3] Vollmer, F. and S. Arnold, *Whispering-gallery-mode biosensing: label-free detection down to single molecules*. Nature methods, 2008. **5**(7): p. 591-596.
- [4] Monifi, F., et al., *A robust and tunable add-drop filter using whispering gallery mode microtoroid resonator*. Journal of Lightwave Technology, 2012. **30**(21): p. 3306-3315.
- [5] Spillane, S., T. Kippenberg, and K. Vahala, *Ultralow-threshold Raman laser using a spherical dielectric microcavity*. Nature, 2002. **415**(6872): p. 621-623.